

# ВОЗБУЖДЕНИЕ КВАНТОВОГО ОСЦИЛЛЯТОРА ЗАРЯЖЕННЫМИ ЧАСТИЦАМИ

*В. А. Астапенко<sup>a\*</sup>, Ю. А. Кротов<sup>b</sup>, Е. В. Сахно<sup>a</sup>*

<sup>a</sup> *Московский физико-технический институт (национальный исследовательский университет)  
141701, Долгопрудный, Московская обл., Россия*

<sup>b</sup> *Научно-исследовательский институт «Полос» им. М. Ф. Стельмаха  
117342, Москва, Россия*

Поступила в редакцию 16 декабря 2020 г.,  
после переработки 25 декабря 2020 г.  
Принята к публикации 28 декабря 2020 г.

Исследуется возбуждение линейного квантового осциллятора (ЛКО) при столкновении с заряженной частицей, движущейся по прямолинейной траектории. Расчет вероятности и сечения процесса проведен вне рамок теории возмущений для различных зарядов налетающей частицы, включая многозарядные ионы. Рассмотрено возбуждение между стационарными состояниями ЛКО, а также полное возбуждение из основного состояния. Проанализированы характеристические черты процесса в зависимости от параметров задачи.

DOI: 10.31857/S0044451021050035

## 1. ВВЕДЕНИЕ

Теория возбуждения квантовых объектов в результате столкновения с заряженными частицами впервые рассматривалась Ферми в его классической работе [1] в рамках метода эквивалентных фотонов еще до создания квантовой механики с использованием экспериментальных данных для сечений фото-возбуждения.

В настоящее время для расчета сечения ударного возбуждения атомов используется последовательный квантовомеханический подход [2].

Кроме того, для быстрой оценки сечения возбуждения на дипольно-разрешенных переходах атомов и молекул применяются полуфеноменологические формулы, полученные методом функций подобия (см., например, [3, 4]). Данные формулы могут быть выведены с использованием спектроскопического принципа соответствия, в рамках которого атом при взаимодействии с электромагнитным полем представляется набором классических осцилляторов [5]. Такой подход соответствует первому порядку теории возмущений по взаимодействию мишени с налетающей частицей (НЧ) и становится

некорректным при описании ударного возбуждения медленными частицами и многозарядными ионами.

Возбуждение квантового осциллятора короткими лазерными импульсами исследовалось в работах [6, 7] с помощью точной формулы для вероятности процесса, полученной Швингером [8] в его теории квантованного поля.

Модель квантового осциллятора активно используется при расчете потерь энергии в ходе столкновения заряженных частиц с атомами [9]. Так, в работах [10, 11] формула Швингера, обобщенная на трехмерный случай, применялась для расчета потерь энергии при столкновении заряженных частиц с квантовым осциллятором, находящемся в основном состоянии. В работе [10] рассматривались флуктуации потерь энергии, в статье [11] — эффективное торможение.

Отметим, что в статьях [9–11] вычислялась сумма по всем возбужденным состояниям осциллятора. Сечения отдельных переходов не рассматривались.

Настоящая работа посвящена расчету и анализу вне рамок теории возмущений вероятности и сечений возбуждения квантового линейного осциллятора на переходах между стационарными состояниями при столкновении с заряженными частицами.

\* E-mail: astval@mail.ru

## 2. ОСНОВНЫЕ ФОРМУЛЫ

В работе исследуется случай, когда заряженная частица, возбуждающая осциллятор, движется равномерно и прямолинейно со скоростью  $\mathbf{v}$ , образующей угол  $\alpha$  с осью осциллятора [12]. На рис. 1 представлена диаграмма процесса,  $\rho$  — прицельный параметр.

Тогда для фурье-образа напряженности электрического поля, создаваемого нерелятивистским зарядом  $Ze$  в месте расположения осциллятора, можно получить

$$\mathbf{E}(\omega, \rho, v) = \frac{2Ze\omega}{v^2} \times \left\{ K_1\left(\frac{\omega\rho}{v}\right) \mathbf{e}_n + iK_0\left(\frac{\omega\rho}{v}\right) \mathbf{e}_\tau \right\}, \quad (1)$$

где  $\mathbf{e}_{n,\tau}$  — нормальный и тангенциальный (по отношению к вектору скорости  $\mathbf{v} = \text{const}$ ) единичные векторы,  $\rho$  — прицельный параметр,  $K_{0,1}(z)$  — функции Макдональда нулевого и первого порядка.

Вероятность возбуждения квантового осциллятора на переходе между стационарными состояниями  $n \rightarrow m$  определяется формулой [8]

$$W_{mn} = \frac{n!}{m!} \nu^{m-n} \exp(-\nu) |L_n^{m-n}(\nu)|^2. \quad (2)$$

Здесь  $L_n^k(\nu)$  — обобщенный полином Лагерра, параметр  $\nu$  определяется равенством [6, 13]

$$\nu = \frac{\varepsilon}{\hbar\omega_0}, \quad (3)$$

где  $\varepsilon$  — энергия возбуждения классического осциллятора с той же частотой  $\omega_0$  и массой  $M$  внешним электрическим полем. Предполагаем, что затуханием осциллятора можно пренебречь. Подробный вывод выражения (2) как функции параметра  $\nu$ , определенного формулой (3), содержится в работе [14]. Вывод основывается на аналитическом решении уравнения Шредингера для заряженного гармонического осциллятора в поле электромагнитного

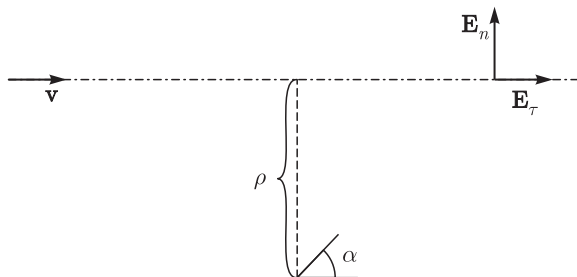


Рис. 1. Диаграмма процесса

импульса путем сдвига его координаты:  $x \rightarrow x - \xi(t)$ , где  $\xi(t)$  — координата классического осциллятора, ассоциированного с квантовым аналогом (имеющим те же параметры).

Для полной вероятности возбуждения квантового осциллятора из основного состояния формула (2) дает

$$W_{tot}(\nu) = 1 - \exp(-\nu). \quad (4)$$

Отметим, что формула (4) совпадает с выражением для вероятности возбуждения квантового перехода при столкновении с заряженной частицей, полученным Ферми в работе [1], если под параметром  $\nu$  понимать величину

$$\nu \rightarrow \int \frac{J(\omega)\sigma(\omega)}{\hbar\omega} d\omega,$$

где  $\sigma(\omega)$  — сечение квантового перехода,  $J(\omega)$  — спектральный поток энергии поля заряженной частицы.

Пусть линейный осциллятор направлен вдоль оси  $x$ , тогда энергия возбуждения классического осциллятора под действием поля заряженной частицы (1) равна

$$\varepsilon(\rho, v) = \frac{e^2}{2M} |E_x(\omega_0, \rho, v)|^2, \quad (5)$$

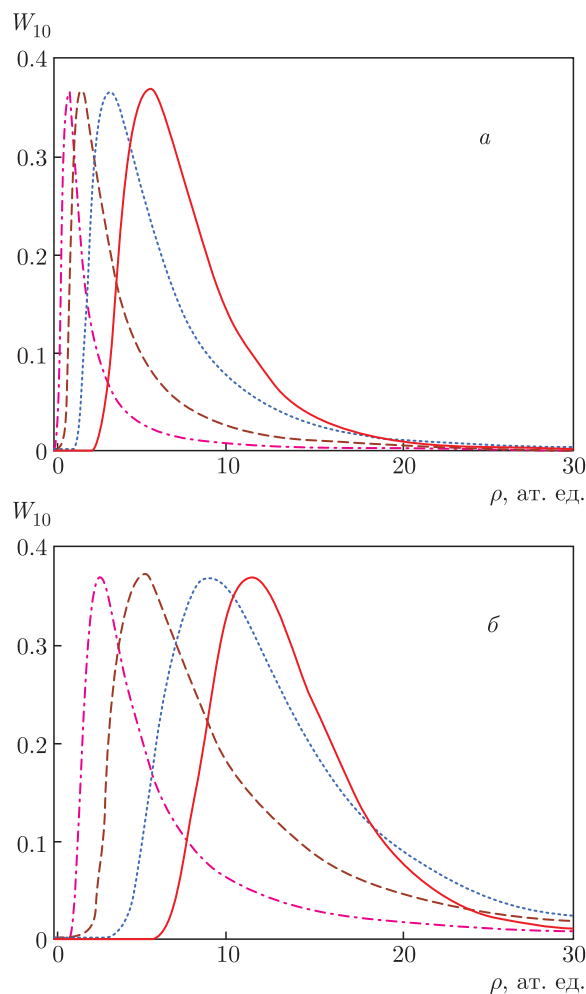
где  $E_x$  — проекция фурье-образа напряженности поля заряженной частицы на ось осциллятора. Для квадрата модуля этой величины имеем

$$|E_x(\omega_0, \rho, v)|^2 = \left(\frac{2Ze\omega}{v^2}\right)^2 \times \left\{ K_1^2\left(\frac{\omega_0\rho}{v}\right) \sin^2 \alpha \cos^2 \varphi + K_0^2\left(\frac{\omega_0\rho}{v}\right) \cos^2 \alpha \right\}, \quad (6)$$

где  $\alpha$  — угол между вектором скорости  $\mathbf{v}$  и единичным вектором  $\mathbf{e}_x$  в направлении оси осциллятора. В формуле (6) введен азимутальный угол  $\varphi$ , равный углу между вектором  $\mathbf{e}_n$  и плоскостью  $\mathbf{v} \times \mathbf{e}_x$ . Он определяет плоскость траектории движения заряженной частицы. Таким образом, вероятность возбуждения определяется двумя траекторными параметрами  $\rho$  и  $\varphi$ , которые входят в выражение для сечения процесса:

$$\sigma_{mn} = \int_0^{2\pi} d\varphi \int_a^\infty W_{mn}(\rho, \varphi) \rho d\rho. \quad (7)$$

Здесь мы ввели параметр «обрезания»  $a \approx 1$  ат. ед., который ограничивает область прицельных параметров снизу. Анализ показывает, что зависимостью



**Рис. 2.** Вероятность возбуждения перехода  $0 \rightarrow 1$  в квантовом осцилляторе под действием НЧ с зарядом  $Z = 10$  (а), 30 (б) как функции прицельного параметра,  $\varphi = \pi/4$ ,  $\alpha = \pi/2$ , для разных скоростей НЧ: сплошная кривая —  $v = 0.1$  ат. ед., пунктирная —  $v = 0.2$  ат. ед., штриховая —  $v = 0.4$  ат. ед., штрихпунктирная —  $v = 0.8$  ат. ед.

сечения (7) от величины параметра  $a$  при  $a \leq 1$  можно пренебречь.

Результаты расчета вероятности возбуждения ЛКО на переходе  $0 \rightarrow 1$  представлены на рис. 2 как функции прицельного параметра для различных скоростей и зарядов НЧ. При этом были использованы параметры осциллятора, соответствующие колебаниям молекулы СО в основном электронном состоянии:  $M = 12500$  ат. ед.,  $\omega_0 = 0.01$  ат. ед.

Характерно, что рассчитанные с использованием формулы (2) зависимости, изображенные на рис. 2, представляют собой кривые с максимумом, причем  $W_{10}^{max} = e^{-1} \approx 0.368$ . Отметим, что вероятность возбуждения квантового осциллятора, рассчитанная в

рамках теории возмущений, дает монотонно убывающую функцию прицельного параметра  $\rho$ .

Как видно из приведенных графиков, максимум вероятности возбуждения линейного квантового осциллятора (ЛКО) с ростом скорости НЧ смещается в область меньших значений прицельного параметра, при этом ширина максимума уменьшается.

Сечения возбуждения ЛКО между соседними стационарными состояниями  $n - 1 \rightarrow n$  как функции скорости налетающей частицы представлены на рис. 3 для зарядов НЧ  $Z = 10, 30, 60$ .

Анализ графиков показывает, что при возбуждении перехода  $n - 1 \rightarrow n$  сечение процесса в максимуме зависимости от скорости заряженной частицы пропорционально ее заряду  $Z$ , а также величине  $\sqrt{n}$ . Кроме того, значение скорости в максимуме определяется соотношением  $v_{max} \propto \sqrt{Z}$ .

Сечения возбуждения ЛКО из основного состояния в заданные возбужденные, а также полное сечение возбуждения как функции скорости НЧ представлены на рис. 4 для различных зарядов НЧ.

Из приведенных рисунков следует, что максимум сечения возбуждения перехода  $0 \rightarrow n$  слабо смещается в область меньших значений скорости с ростом квантового числа  $n$ , а величина сечения в максимуме пропорциональна заряду НЧ.

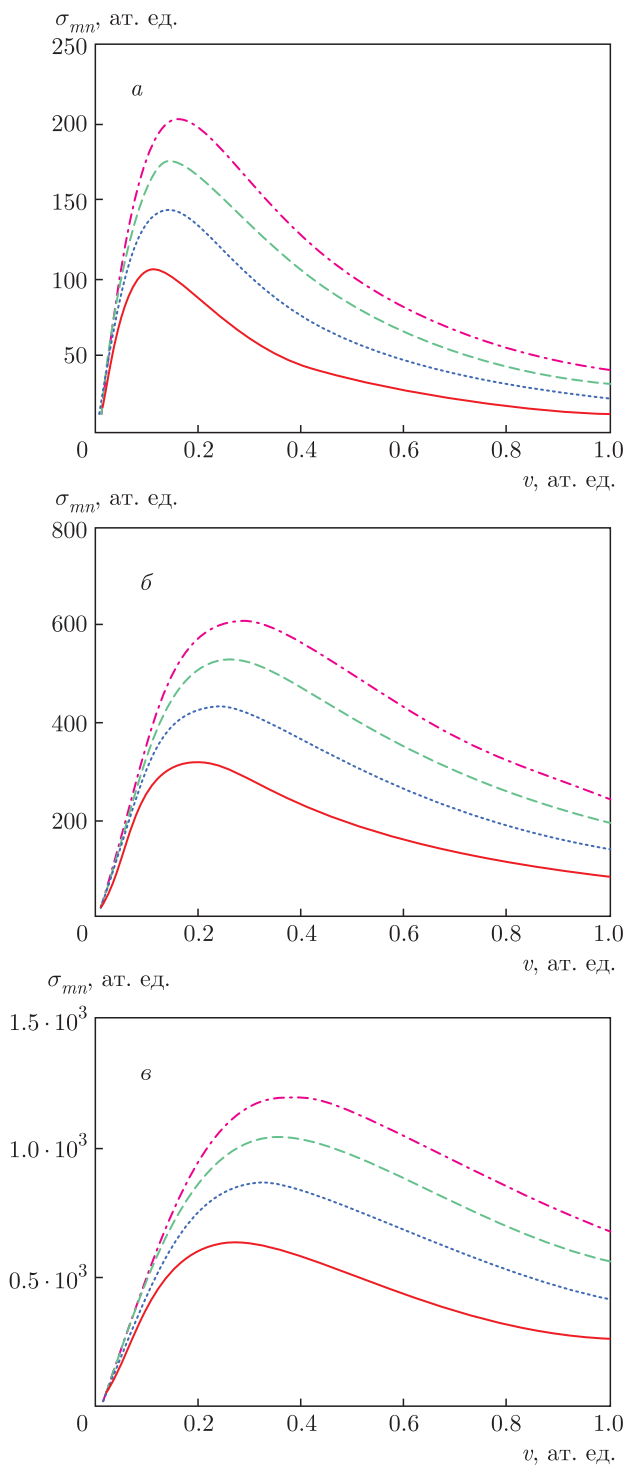
Зависимости полного сечения возбуждения ЛКО из основного состояния от скорости НЧ для различных углов  $\alpha$  между вектором скорости и осью ЛКО, вычисленные с помощью формул (4), (7), представлены на рис. 5.

Из рисунка видно, что зависимость сечения возбуждения ЛКО от скорости НЧ с ростом угла  $\alpha$  уменьшается в максимуме и более медленно убывает в области больших скоростей.

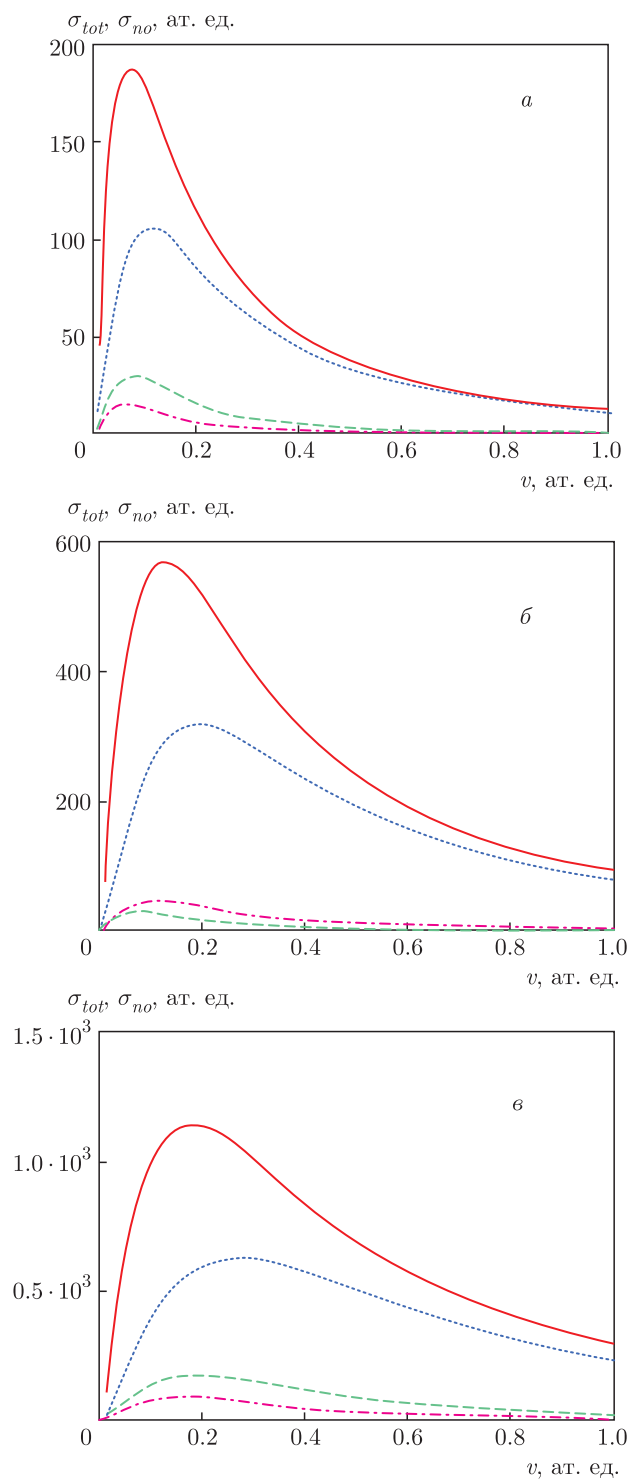
Полные сечения возбуждения ЛКО с параметрами, отвечающими молекулам СО и NH, представлены на рис. 6.

Видно, что для более легкого ЛКО (NH) сечение возбуждения больше и максимум зависимости от скорости НЧ смещен в область больших скоростей. Численный анализ показывает, что при прочих равных параметрах сечение полного возбуждения ЛКО в максимуме зависимости от скорости зависит от массы осциллятора согласно соотношению  $\sigma_{tot}(v_{max}) \propto 1/\sqrt{M}$ .

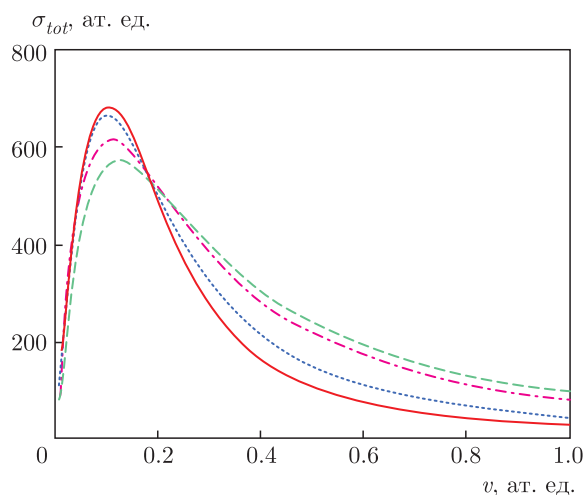
Сравним теперь полученные выше сечения возбуждения квантового осциллятора на переходе  $0 \rightarrow 1$  с результатами расчета по теории возмущений. Соответствующее выражение в последнем случае имеет вид [12]



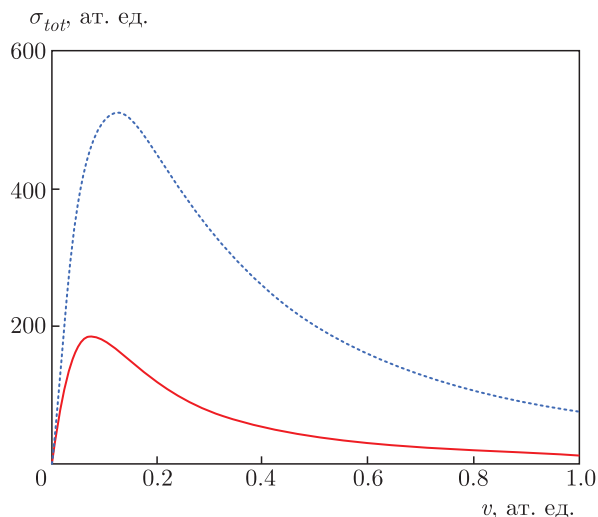
**Рис. 3.** Сечение столкновительного возбуждения различных переходов в квантовом осцилляторе НЧ с зарядом  $Z = 10$  (а), 30 (б), 60 (в) как функция скорости НЧ, сплошные кривые — переход  $0 \rightarrow 1$ , пунктирные — переход  $1 \rightarrow 2$ , штриховые — переход  $2 \rightarrow 3$ , штрихпунктирные — переход  $3 \rightarrow 4$ , угол между осью осциллятора и вектором скорости НЧ  $\alpha = \pi/2$



**Рис. 4.** Сечение возбуждения квантового осциллятора из основного состояния НЧ с зарядом  $Z = 10$  (а), 30 (б), 60 (в) как функция скорости НЧ, пунктирные кривые — переход  $0 \rightarrow 1$ , штриховые — переход  $0 \rightarrow 2$ , штрихпунктирные — переход  $0 \rightarrow 3$ , сплошные — полное сечение возбуждения



**Рис. 5.** Зависимости полного сечения возбуждения ЛКО из основного состояния от скорости НЧ для различных углов  $\alpha$ : сплошная кривая —  $\alpha = 0$ , пунктирная —  $\alpha = \pi/6$ , штриховая —  $\alpha = \pi/2$ , штрихпунктирная —  $\alpha = 2\pi/3$ ,  $Z = 30$

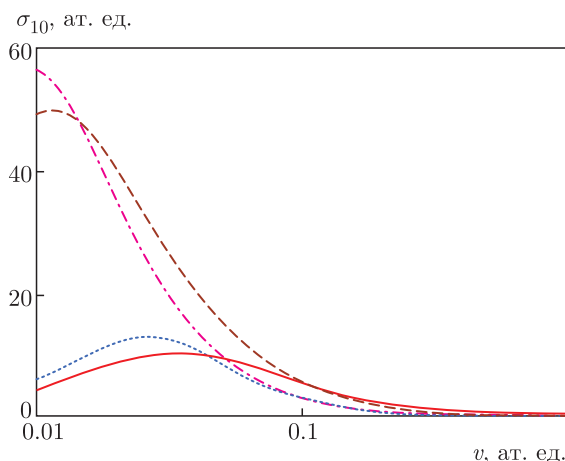


**Рис. 6.** Сечение полного возбуждения ЛКО с параметрами молекул СО (сплошная кривая,  $M = 12500$  ат. ед.,  $\omega_0 = 0.01$  ат. ед.) и NH (пунктирная кривая,  $M = 1713$  ат. ед.,  $\omega_0 = 0.01$  ат. ед.),  $Z = 10$ ,  $\alpha = \pi/2$

$$\sigma_{10} = \frac{q^2}{2M\omega_0} \int_0^{2\pi} d\varphi \int_a^\infty |E_x(\omega_0, \rho, v)|^2 \rho d\rho. \quad (8)$$

Отметим, что при записи (8) было учтено, что сила осциллятора на рассматриваемом переходе равна 1.

Сечения, рассчитанные по формуле (8) и с использованием точного выражения для вероятности возбуждения (2), представлены на рис. 7 для двух значений угла  $\alpha = \pi/2, 0$ .



**Рис. 7.** Сечение возбуждения молекулы СО на колебательном переходе  $0 \rightarrow 1$  при столкновении с однозарядным ионом: сплошная кривая ( $\alpha = \pi/2$ ), пунктирная ( $\alpha = 0$ ) — расчет с использованием (8); штриховая кривая ( $\alpha = \pi/2$ ), штрихпунктирная ( $\alpha = 0$ ) — расчет по теории возмущений

Из рис. 7 следует, что в рассматриваемом случае для малых скоростей НЧ ( $v < 0.1$  ат. ед.) результат расчета по теории возмущений существенно превышает результат, полученный с помощью точной формулы (8). Для относительно быстрых НЧ ( $v > 0.1$  ат. ед.) рассчитанные зависимости совпадают.

### 3. ЗАКЛЮЧЕНИЕ

С использованием точной формулы в работе рассчитаны и проанализированы вероятность и сечение возбуждения ЛКО в результате соударения с заряженной НЧ, двигающейся равномерно и прямолинейно.

Показано, что полученные зависимости для вероятности процесса представляют собой кривые с максимумом в отличие от результатов расчета в рамках теории возмущений.

Установлено, что величина максимума сечения перехода ЛКО между соседними стационарными уровнями  $n - 1 \rightarrow n$  как функция скорости НЧ пропорциональна ее заряду  $Z$ , а также величине  $\sqrt{n}$ . Значение скорости в максимуме:  $v_{max} \propto \sqrt{Z}$ .

Максимум сечения возбуждения ЛКО из основного состояния  $0 \rightarrow n$  слабо смещается в область меньших значений скорости с ростом квантового числа  $n$ , величина сечения пропорциональна заряду НЧ.

Показано, что полное сечение возбуждения ЛКО слабо зависит от угла между вектором скорости НЧ

и осью осциллятора и уменьшается с ростом массы осциллятора  $M$  в максимуме зависимости от скорости согласно соотношению  $\sigma_{tot}(v_{max}) \propto 1/\sqrt{M}$ .

## ЛИТЕРАТУРА

1. E. Fermi, Z. Phys. **29**, 315 (1924).
2. Л. А. Вайнштейн, И. И. Собельман, Е. А. Юков, *Возбуждение атомов и уширение спектральных линий*, Наука, Москва (1979).
3. V. A. Astapenko, A. V. Eletsii, V. P. Kudrya et al., Laser Phys. **10**, 1220 (2000).
4. S. Adamson, V. Astapenko, M. Deminskii et al., Chem. Phys. Lett. **436**, 308 (2007).
5. N. Bohr, H. A. Kramers, and J. C. Slater, Phil. Mag. **47**, 785 (1924).
6. V. A. Astapenko and E. V. Sakhno, Appl. Phys. B **126**, 23 (2020).
7. V. A. Astapenko and E. V. Sakhno, Symmetry **12**, 1293 (2020).
8. J. Schwinger, Phys. Rev. **91**, 728 (1953).
9. P. Sigmund and U. Haagerup, Phys. Rev. A **34**, 892 (1986).
10. Д.Н. Макаров, ЖЭТФ **146**, 711 (2014).
11. Д. Н. Макаров, ЖЭТФ **85**, 7 (2015).
12. В. А. Астапенко, *Взаимодействие излучения с атомами и наночастицами*, Интеллект, Долгопрудный (2010).
13. K. Husimi, Progr. Theor. Phys. **9**, 4 (1953).
14. V. A. Astapenko, F. B. Rosmej, and E. V. Sakhno, arXiv:2009.04233 [physics.atom-ph].